



دانشگاه صنعتی شریف
دانشکده‌ی مهندسی هوافضا

پروژه کارشناسی ارشد
مهندسی فضا

عنوان:

هدایت یادگیری تقویتی مقاوم مبتنی بر بازی دیفرانسیلی در محیط‌های پویای چندجسمی با پیشران کم

نگارش:

علی بنی اسد

استاد راهنما:

دکتر هادی نوبهاری

دی ۱۴۰۳



به نام خدا

دانشگاه صنعتی شریف

دانشکده‌ی مهندسی هوافضا

پروژه کارشناسی ارشد

عنوان: هدایت یادگیری تقویتی مقاوم مبتنی بر بازی دیفرانسیلی در محیط‌های پویای چندجسمی
با پیشران کم

نگارش: علی بنی اسد

کمیته‌ی ممتحنین

استاد راهنما: دکتر هادی نوبهاری
امضاء:

استاد مشاور: استاد مشاور
امضاء:

استاد مدعو: استاد ممتحن
امضاء:

تاریخ:

سپاس

از استاد بزرگوارم جناب آقای دکتر نوبهاری که با کمک‌ها و راهنمایی‌های بی‌دریغشان، بنده را در انجام این پروژه یاری داده‌اند، تشکر و قدردانی می‌کنم. از پدر دلسوزم ممنونم که در انجام این پروژه مرا یاری نمود. در نهایت در کمال تواضع، با تمام وجود بر دستان مادرم بوسه می‌زنم که اگر حمایت بی‌دریغش، نگاه مهربانش و دستان گرمش نبود برگ برگ این دست نوشته و پروژه وجود نداشت.

چکیده

در این پژوهش، یک چارچوب هدایت مقاوم برای فضاپیمای کم‌پیشران در محیط‌های دینامیکی چندجسمی (مدل CRTBP زمین-ماه) ارائه شده است. مسئله به صورت بازی دیفرانسیلی مجموع صفر بین عامل هدایت (فضاپیما) و عامل مزاحم (عدم قطعیت‌های محیطی) فرمول‌بندی شده و با رویکرد آموزش متمرکز-اجرای توزیع‌شده پیاده‌سازی گردیده است. در این راستا، چهار الگوریتم یادگیری تقویتی پیوسته TD3، DDPG، SAC و PPO به نسخه‌های چندعاملی مجموع صفر گسترش یافته‌اند (MASAC، MATD3، MA-DDPG و MAPPO) و جریان آموزش آن‌ها همراه با ساختار شبکه‌ها در قالب ارزش-سیاست مشترک تشریح شده است.

ارزیابی الگوریتم‌ها در سناریوهای متنوع عدم قطعیت شامل شرایط اولیه تصادفی، اغتشاش عملگر، نویز حسگر، تأخیر زمانی و عدم تطابق مدل روی مسیر مدار لیاپانوف زمین-ماه انجام گرفت. نتایج به وضوح نشان می‌دهد که نسخه‌های مجموع صفر در تمامی معیارهای ارزیابی بر نسخه‌های تک‌عاملی برتری دارند. به‌ویژه الگوریتم MATD3 با حفظ پایداری سیستم، کمترین انحراف مسیر و مصرف سوخت بهینه را حتی در سخت‌ترین سناریوهای آزمون از خود نشان داد.

به منظور تسهیل استقرار عملی، سیاست‌های آموخته‌شده روی بستر ROS 2 با بهره‌گیری از کوانتیزاسیون INT8 و تبدیل به فرمت ONNX پیاده‌سازی شدند. این بهینه‌سازی‌ها زمان استنتاج را به ۵/۸ میلی‌ثانیه و مصرف حافظه را به ۹/۲ مگابایت کاهش داد که به ترتیب بهبود ۴۷ درصدی و ۵۳ درصدی نسبت به مدل FP32 را نشان می‌دهد، در حالی که چرخه کنترل ۱۰۰ هرتز بدون هیچ‌گونه نقض زمانی حفظ شد.

در مجموع، چارچوب پیشنهادی نشان می‌دهد که یادگیری تقویتی چندعاملی مبتنی بر بازی دیفرانسیلی می‌تواند بدون نیاز به مدل‌سازی دقیق، هدایت تطبیقی و مقاوم فضاپیمای کم‌پیشران را در نواحی ذاتاً ناپایدار سیستم‌های سه‌جسمی تضمین کند و برای پیاده‌سازی روی سخت‌افزار در حلقه آماده باشد.

کلیدواژه‌ها: یادگیری تقویتی عمیق، بازی دیفرانسیلی، سیستم‌های چندعاملی، هدایت کم‌پیشران، مسئله محدود سه‌جسمی، کنترل مقاوم.

فهرست مطالب

| | | |
|-------|--|---|
| ۱ | مدل سازی محیط یادگیری سه جسمی | ۱ |
| ۱-۱ | مسئله‌ی سه جسمی محدود دایره‌ای (CRTBP) | ۱ |
| ۱-۱-۱ | لاگرانژ و معادلات حرکت | ۳ |
| ۲-۱ | نقاط تعادل لاگرانژ | ۳ |

فهرست جداول

- ۱-۱ مقادیر عددی برای مسئله سه جسمی محدود (سیستم زمین-ماه) ۲
- ۲-۱ مقادیر عددی نقاط لاگرانژ برای مسئله سه جسمی محدود سیستم زمین-ماه ۵

فهرست تصاویر

| | |
|---|---|
| ۲ | ۱-۱ هندسه‌ی مسئله‌ی سه‌جسمی محدود در چارچوب چرخان |
| ۴ | ۲-۱ نقاط لاگرانژ در سامانه‌ی زمین-ماه |

فهرست الگوریتم‌ها

فصل ۱

مدل سازی محیط یادگیری سه جسمی

مسیرهای فضایی در بسیاری از مأموریت‌ها نه تنها تحت تأثیر گرانش یک جسم مرکزی (مانند خورشید یا زمین)، بلکه به طور هم‌زمان تحت نفوذ دست‌کم یک جسم دیگر نیز هستند. در این وضعیت، مدل‌های دوجسمی با اختلالات جسم سوم دقت کافی ندارند و باید دینامیک دو جسم اصلی و اثرات آن‌ها به صورت هم‌زمان در نظر گرفته شود. مسئله‌ی سه جسمی محدود با دو جسم اصلی و یک جسم سوم با جرم ناچیز (فضاپیما) چارچوبی طبیعی برای مطالعه‌ی این پدیده‌ها و نیز یک محیط مناسب برای به کارگیری روش‌های یادگیری تقویتی است؛ زیرا دینامیک غیرخطی و پیچیده‌ی آن ویژگی‌های غنی (مانند نقاط تعادل لاگرانژ) ایجاد می‌کند.

در این فصل ابتدا در بخش ۱-۱ دستگاه بی‌بُعد و چارچوب چرخان تعریف شده و در بخش ۱-۲ معادلات حرکت در مسئله‌ی سه جسمی محدود دایره‌ای استخراج می‌شود.

۱-۱ مسئله‌ی سه جسمی محدود دایره‌ای (CRTBP)

دو جرم اصلی (زمین با جرم m_1 و ماه با جرم m_2) روی مدارهایی دایره‌ای و هم‌صفحه پیرامون مرکز جرم مشترک حرکت می‌کنند. جرم سوم (فضاپیما با جرم ناچیز m_3) چنان کوچک فرض می‌شود که تأثیر گرانشی آن بر حرکت دو جسم اصلی قابل نظر است؛ بدین ترتیب، مسئله‌ی سه جسمی محدود دایره‌ای شکل می‌گیرد.

جدول ۱-۱: مقادیر عددی برای مسئله سه جسمی محدود (سیستم زمین-ماه)

| پارامتر | توصیف | مقدار عددی |
|----------|---------------------|---------------------------------------|
| m_1 | جرم زمین | $5.972 \times 10^{24} \text{ kg}$ |
| m_2 | جرم ماه | $7.348 \times 10^{22} \text{ kg}$ |
| μ | نسبت جرمی | 0.0121505856 |
| ω | سرعت زاویه‌ای سیستم | $2.6617 \times 10^{-6} \text{ rad/s}$ |

دستگاه مختصات چرخانی هم‌دوران با دو جرم اصلی انتخاب می‌شود؛ مبدأ در مرکز جرم سامانه است، محور x خطِ واصلِ دو جرم و محور y بر آن عمود (در صفحه‌ی مدارها) است. واحدِ طول برابر فاصله‌ی ثابتِ میان دو جرم و واحدِ زمان چنان تعریف می‌شود که دوره‌ی مداری سامانه 2π (و در نتیجه $\omega = 1$) گردد. همچنین جرم‌ها به گونه‌ای مقیاس می‌شود که مجموع دو جرم برابر با یک شود:

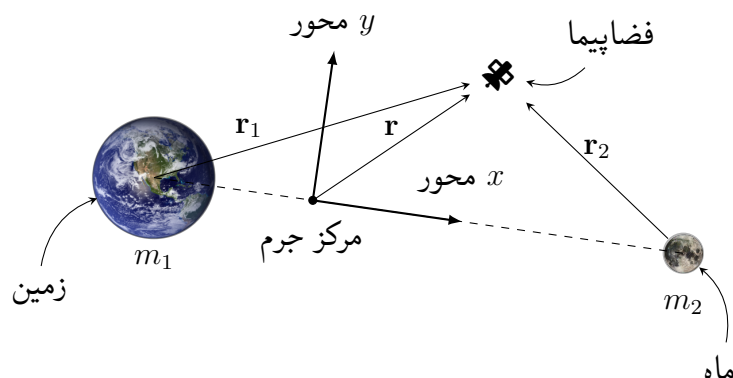
$$m_1 + m_2 = 1. \quad (1-1)$$

با نسبتِ جرمی

$$\mu \equiv \frac{m_2}{m_1 + m_2}, \quad (2-1)$$

داریم $m_1 = 1 - \mu$ و $m_2 = \mu$ و مکانِ دو جرم در دستگاه بی‌بُعد به صورت

$$\mathbf{r}_{\text{Earth}} = (-\mu, 0), \quad \mathbf{r}_{\text{Moon}} = (1 - \mu, 0). \quad (3-1)$$



شکل ۱-۱: هندسه‌ی مسئله‌ی سه جسمی محدود در چارچوب چرخان

۱-۱-۱ لاگرانژ و معادلات حرکت

با در نظر گرفتن $G = 1$ در حالت بی‌بعد، تابع لاگرانژ جرم سوم در دستگاه چرخان برابر است با [۱]

$$L = \frac{1}{2}(\dot{x}^2 + \dot{y}^2 + \dot{z}^2) + (1 - \mu) \frac{1}{r_1} + \mu \frac{1}{r_2} + \frac{1}{2}(x^2 + y^2), \quad (۴-۱)$$

که در آن

$$r_1 = \sqrt{(x + \mu)^2 + y^2 + z^2}, \quad r_2 = \sqrt{(x - 1 + \mu)^2 + y^2 + z^2}. \quad (۵-۱)$$

با به‌کارگیری رابطه‌ی اوایلر-لاگرانژ

$$\frac{d}{dt} \frac{\partial L}{\partial \dot{q}_i} - \frac{\partial L}{\partial q_i} = 0, \quad q_i \in \{x, y, z\},$$

معادلات بی‌بعد حرکت جرم سوم به دست می‌آید:

$$\ddot{x} - 2\dot{y} = x - \frac{1 - \mu}{r_1^3}(x + \mu) - \frac{\mu}{r_2^3}(x - 1 + \mu), \quad (۶-۱)$$

$$\ddot{y} + 2\dot{x} = y - \frac{1 - \mu}{r_1^3}y - \frac{\mu}{r_2^3}y, \quad (۷-۱)$$

$$\ddot{z} = -\frac{1 - \mu}{r_1^3}z - \frac{\mu}{r_2^3}z. \quad (۸-۱)$$

یا به نگاشت برداری به صورت زیر است.

$$\ddot{\mathbf{r}} + 2\boldsymbol{\omega} \times \dot{\mathbf{r}} = \nabla \Omega(\mathbf{r}), \quad \Omega(x, y, z) = \frac{1}{2}(x^2 + y^2) + \frac{1 - \mu}{r_1} + \frac{\mu}{r_2}. \quad (۹-۱)$$

که در آن Ω پتانسیل مؤثر است و در بخش ۲-۱ برای یافتن نقاط تعادل از شرط $\nabla \Omega = 0$ استفاده می‌شود.

۲-۱ نقاط تعادل لاگرانژ

نقطه‌ی تعادل مکانی است که در چارچوب چرخان، جرم سوم بی‌حرکت می‌ماند. این شرط با صفر شدن مؤلفه‌های

سرعت و شتاب حاصل می‌شود؛ از این رو در معادلات حرکت بخش ۱-۱ قرار می‌دهیم $\dot{x} = \dot{y} = \dot{z} = \ddot{x} = \ddot{y} = \ddot{z} = 0$.

در نتیجه دستگاه جبری زیر برای مختصات نقطه‌ی تعادل به دست می‌آید:

$$0 = x - \frac{1 - \mu}{r_1^3}(x + \mu) - \frac{\mu}{r_2^3}(x - 1 + \mu), \quad (۱۰-۱)$$

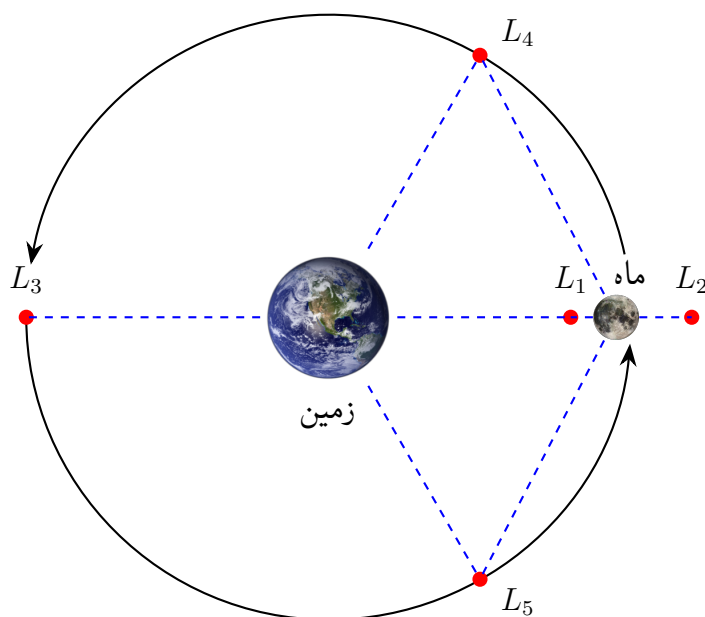
$$0 = y \left[1 - \frac{1 - \mu}{r_1^3} - \frac{\mu}{r_2^3} \right], \quad (۱۱-۱)$$

$$0 = -\frac{1 - \mu}{r_1^3}z - \frac{\mu}{r_2^3}z. \quad (۱۲-۱)$$

معادله‌ی سوم نشان می‌دهد در حالتِ عمومی باید $z = 0$ باشد؛ بنابراین، نقاطِ تعادل همگی در صفحه‌ی مدار قرار می‌گیرند.

دسته‌بندی کلی

۱. نقاطِ هم‌خط^۱: سه نقطه‌ی L_1, L_2, L_3 روی خطِ واصلِ دو جرم قرار دارند و لذا $y = 0$ است.
۲. نقاطِ سه‌گوش^۲: دو نقطه‌ی L_4 و L_5 رأس‌های مثلثِ متساوی‌الاضلاع با دو جرم اصلی را تشکیل می‌دهند و در آن‌ها $y \neq 0$.



شکل ۱-۲: نقاطِ لاگرانژ در سامانه‌ی زمین-ماه

نقاطِ هم‌خط (L_1, L_2, L_3)

با اعمال $y = 0$ ، تنها معادله‌ی زیر باقی می‌ماند:

$$x - \frac{1 - \mu}{|x + \mu|^3}(x + \mu) - \frac{\mu}{|x - 1 + \mu|^3}(x - 1 + \mu) = 0. \quad (13-1)$$

این معادله در سه ناحیه‌ی مجزا—بین دو جرم، بیرونِ جرمِ کوچک و بیرونِ جرمِ بزرگ—دارای یک ریشه است که به‌ترتیب نقاطِ L_1, L_2, L_3 را تعیین می‌کند.

¹Collinear
²Triangular

برای $1 \ll \mu$ (همچون سامانه‌ی خورشید-زمین یا زمین-ماه) می‌توان تقریب‌های شناخته‌شده را نوشت:

$$\begin{aligned}x_{L_1} &\simeq (1 - \mu) - \left(\frac{\mu}{3}\right)^{1/3}, \\x_{L_2} &\simeq (1 - \mu) + \left(\frac{\mu}{3}\right)^{1/3}, \\x_{L_3} &\simeq -1 - \frac{5}{12}\mu; \quad y_{L_i} = 0.\end{aligned}$$

در عمل، ریشه‌ی دقیقِ معادله‌ی (۱-۱۳) با یک روش عددی (نیوتن-رافسون) محاسبه می‌شود.

نقاط سه‌گوش (L_4, L_5)

در این نقاط $r_1 = r_2 = 1$ و شرط $1 - (1 - \mu)/r_1^3 - \mu/r_2^3 = 0$ به‌طور طبیعی برقرار است. مختصات به عبارت‌اند از

$$x_{L_4} = x_{L_5} = \frac{1}{2} - \mu, \quad y_{L_4} = +\frac{\sqrt{3}}{2}, \quad y_{L_5} = -\frac{\sqrt{3}}{2}. \quad (۱-۱۴)$$

پایداری این نقاط مستلزم نسبتِ جرمِ کافی است؛ شرطِ کلاسیک $m_1/m_2 > 24.96$ (یا معادل آن $\mu < \mu_R \approx 0.03852$) در سامانه‌های خورشید-سیاره یا زمین-ماه برقرار است و سببِ وجودِ خانواده‌ی سیارک‌های تروجان حول L_4 و L_5 می‌شود. در مقابل، نقاطِ هم‌خط ناپایدارند و معمولاً مأموریت‌های فضایی روی مدارهای هاله‌ای یا لیسازور در پیرامونِ آن‌ها قرار می‌گیرند.

برای سامانه‌ی زمین-ماه، $\mu \simeq 0.01215$ است. جدولِ زیر مختصاتِ بی‌بعدِ هر پنج نقطه را نشان می‌دهد (واحدِ طول: فاصله‌ی زمین-ماه). موقعیتِ زمین در $(-\mu, 0)$ و ماه در $(1 - \mu, 0)$ است.

جدول ۱-۲: مقادیر عددی نقاط لاگرانژ برای مسئله‌ی سه‌جسمی محدودِ سیستمِ زمین-ماه

| نقطه‌ی لاگرانژ | x (بی‌بعد) | y (بی‌بعد) |
|----------------|--------------|--------------|
| L_1 | +0.83692 | 0 |
| L_2 | +1.15568 | 0 |
| L_3 | -1.00506 | 0 |
| L_4 | +0.48785 | +0.86603 |
| L_5 | +0.48785 | -0.86603 |

این نتایج نشان می‌دهد که L_1 در حدود 0.84 فاصله‌ی زمین-ماه از زمین قرار دارد (فاصله‌ی آن تا ماه در حدود 0.16 واحد طول است) و L_2 بیرون مدار ماه است. نقطه‌ی L_3 تقریباً یک واحد طول در سوی مقابل ماه نسبت به زمین قرار دارد. دو نقطه‌ی L_4 و L_5 در مختصات $(0.488, \pm 0.866)$ قرار گرفته و با زمین و ماه مثلث متساوی‌الاضلاع می‌سازند.

این نتایج نشان می‌دهد که L_1 در حدود 0.84 فاصله‌ی زمین-ماه از زمین قرار دارد (فاصله‌ی آن تا ماه در حدود 0.16 واحد طول است) و L_2 بیرون مدار ماه است. نقطه‌ی L_3 تقریباً یک واحد طول در سوی مقابل ماه نسبت به زمین قرار دارد. دو نقطه‌ی L_4 و L_5 در مختصات $(0.488, \pm 0.866)$ قرار گرفته و با زمین و ماه مثلث متساوی‌الاضلاع می‌سازند.

Bibliography

- [1] D. Vallado and W. McClain. *Fundamentals of Astrodynamics and Applications*. Fundamentals of Astrodynamics and Applications. Microcosm Press, 2001.

Abstract

This thesis proposes a robust guidance framework for low-thrust spacecraft operating in multi-body dynamical environments modeled by the Earth–Moon circular restricted three-body problem (CRTBP). The guidance task is cast as a zero-sum differential game between a controller agent (spacecraft) and an adversary agent (environmental disturbances), implemented under a centralized-training/ decentralized-execution paradigm. Four continuous-control reinforcement-learning algorithms—DDPG, TD3, SAC, and PPO—are extended to their multi-agent zero-sum counterparts (MA-DDPG, MATD3, MASAC, MAPPO); their actor–critic network structures and training pipelines are detailed.

The policies are trained and evaluated on transfers to the Earth–Moon lyapunov orbit under five uncertainty scenarios: random initial states, actuator perturbations, sensor noise, communication delays, and model mismatch. Zero-sum variants consistently outperform their single-agent baselines, with MATD3 delivering the best trade-off between trajectory accuracy and propellant consumption while maintaining stability in the harshest conditions.

The results demonstrate that the proposed multi-agent, game-theoretic reinforcement-learning framework enables adaptive and robust low-thrust guidance in unstable three-body regions without reliance on precise dynamics models, and is ready for hardware-in-the-loop implementation.

Keywords: Deep Reinforcement Learning; Differential Game; Multi-Agent; Low-Thrust Guidance; Three-Body Problem; Robustness.



Sharif University of Technology
Department of Aerospace Engineering

Master Thesis

Robust Reinforcement Learning Differential Game Guidance in Low-Thrust, Multi-Body Dynamical Environments

By:

Ali BaniAsad

Supervisor:

Dr.Hadi Nobahari

December 2024